

403-⑯ 単一三角形粗度の圧力抵抗について

佐賀大学理工学部 正員 渡辺 訓市

" ○ 荒木 宏文

学正員 市原 仁志

1. えがき 先年、石川は单一三角形粗度の圧力抵抗について水面変化を無視した解析を行ない、風洞中の実験結果と良く一致することを示した。しかし、開水路においては粗度に同調して水面形が変化し、特に、波高・水深比が大きくなると低フルード数の流れであっても、その影響が無視できなくなると思われる。本支は、開水路で三角形状の粗度を一個設置し、水面形と圧力抵抗との関係について考察を加えたものである。

2. 実験 幅30cm、長さ6mの開水路のほぼ中央に波形勾配1/20の三角形粗度を設置し、次の2 caseの水面形状に対して波面上の圧力分布を測定した。

Case 1. 流れの全領域で常流 ($F_f = 0.2 \sim 0.4$, $\Delta f/H < 0.4$)

Case 2. 常流から射流に遷移する流れ ($F_f = 0.4 \sim 0.6$, $\Delta f/H = 0.8 \sim 1.0$)

圧力は波面に穿った径1mmの孔から検出し、水面形は静止管及びPoint Gageを用いて測定した。

3. 圧力分布 図-1のよう背面、前面及びcrestに対して添字1, 2, 0を付すと、背面と前面との圧力差はcrestでの圧力を基準として次式で表わされる。

$$\Delta P = (P_1 - P_0) - (P_2 - P_0) = \frac{1}{2} \rho [h_{sp1} - h_{sp0} - i_{z1}] - [h_{sp2} - h_{sp0} - i_{z2}] \quad (1)$$

左辺はPiezo head, i は路床勾配である。実験によると右辺第2項=0であり、このことは、静水圧分を差し引くと、前面ではcrestでの圧力が浸透して一定となっていることを示すものである。以後、添字1とはすす。

今、波面上でベルヌーイの式が成立するときすれば

$$const. = \frac{U^2}{2g} + \frac{P}{\rho g} + Y = \frac{U_0^2}{2g} + \frac{P_0}{\rho g} + H \quad (2)$$

圧力分布は

$$C_p = \frac{\Delta P}{\frac{1}{2} \rho U^2} = \frac{1}{S^2} - \frac{1}{S_0^2}, S = L/X \quad (3)$$

で表わされる。流速は断面平均流速である。

図-2の一実録線は実測水深を用い、破線は水面変化を無視して、それが式(3)と実測値とを波面の上流側で一致させたものである。両者の差は水面低下が大きい程、 H/L が大きい程大きい事になる。又、crest附近では流線の曲りによる遠心力の作用によって式(3)よりさらに圧力が低下しており、Case 2では極めて大きな圧力低下を生じている。

図-2よりcrestでの圧力低下量 C_{p0} を求めて図示したのが図-3である。Case 1については $C_{p0}(1-\frac{H}{L})^2$ の値がほぼ一定である、石川と同様に次式で表わされる。

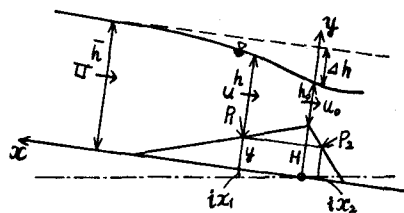


図-1 流れの概況

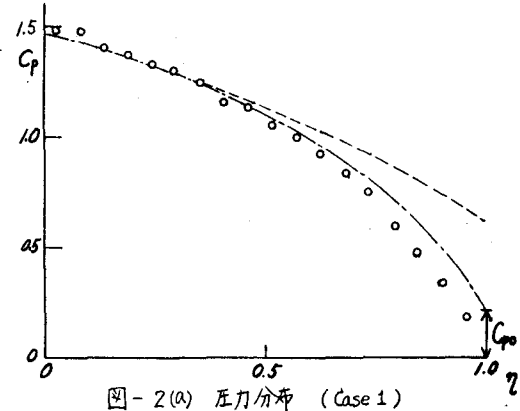


図-2(a) 圧力分布 (Case 1)

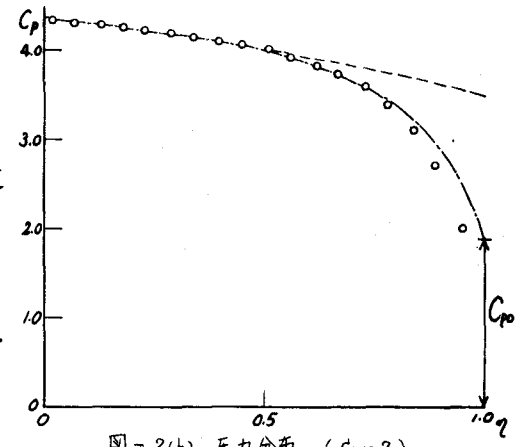


図-2(b) 圧力分布 (Case 2)

$$C_{p0} = 0.13 / (1 - H/h)^2 \quad (4)$$

すく、Case 2 の場合に水面低下が著しく、 H/h によって急激に大きくなっている。このようす、crest 近傍の局所的な圧力低下は、いずれの Case においても H/h に強く規定されており、Fr ほどほとんど寄与しないものと思われる。

4. 圧力抵抗 圧力分布を図-2 の一束鎖線で

近似して

$$C_p = \frac{1}{S^2} - \frac{1}{S^2} + C_{p0} \quad (5)$$

と表わし、 S を式(2)より

$$S^3 - (1 + \frac{1}{2} Fr^2 - \frac{H}{h} \eta) S^2 + \frac{1}{2} Fr^2 = 0, \quad \eta = \eta/H, \quad Fr = U/\sqrt{gh} \quad (6)$$

で与えると、圧力抵抗係数 C_D は

$$C_D = \int_0^1 C_p d\eta = \frac{1}{S^2} - \left(\frac{H}{h}\right)^2 \left\{ \left(\frac{1}{S^2} - 1\right) - \frac{1}{4} Fr^2 \left(\frac{1}{S^2} - 1 \right) \right\} + C_{p0} \quad (7)$$

となる。図-4 に式(4), (6), (7)を用い、 H/h パラメータとして C_D を計算した結果であって、実測値の傾向を良く表わしている。図中破線は水面変化を無視した場合(石川の式)であるが、抵抗は H/h が大きくなると急激に増大し、それは H/h が大きい程著しいため、低フルード数の流れであっても、 H/h が大きいと水面変化の影響が無視できなくなることがわかる。尚、Case 2 の流れは上式で計算できないが、この場合の抵抗は図-4 に示すようにほぼ H/h のみに規定されていると考えられる。図-5 は Case 1 について実測値と計算値を比較したものである。計算値の方が若干大きいが、これは圧力分布を式(5)で近似し、crest より上流での圧力低下を無視していることによる。図中△印は水面変化を無視した場合である。

以上、水面変化が抵抗に及ぼす影響についてかなり明らかにされた。Case 2 についてはさらに検討を続けるつもりである。尚、実験、資料整理は本学四年生宮口博樹君の勞に負うところが多い。記して感謝します。

图-4 圧力抵抗係数

